



# ОДНОНАПРАВЛЕННЫЕ КОНВЕКТИВНЫЕ ТЕЧЕНИЯ ВЯЗКОЙ НЕСЖИМАЕМОЙ ЖИДКОСТИ С ПРОСКАЛЬЗЫВАНИЕМ В ЗАМКНУТОМ СЛОЕ

Н. В. Бурмашева<sup>1</sup>, Е.А. Ларина<sup>2</sup>, Е. Ю. Просвиряков<sup>1</sup>  
nat\_burm@mail.ru, larinakaterina@hotmail.com, evgen\_pros@mail.ru

*<sup>1</sup>Институт машиноведения УрО РАН, г. Екатеринбург, Россия*

*<sup>2</sup>Уральский федеральный университет, г. Екатеринбург, Россия*

МЕХАНИКА, РЕСУРС И ДИАГНОСТИКА МАТЕРИАЛОВ И КОНСТРУКЦИЙ

Екатеринбург, 9-13 декабря 2019 года

## Постановка задачи и методы решения

Рассматривается однонаправленное установившееся конвективное слоистое течение вязкой несжимаемой жидкости в плоском горизонтальном бесконечном слое толщины  $h$  (рис. 1). Действующее на жидкость поле силы тяжести характеризуется ускорением свободного падения  $g$ , направленного вертикально вниз. Полагаем, что справедливо приближение Обербека-Буссинеска.

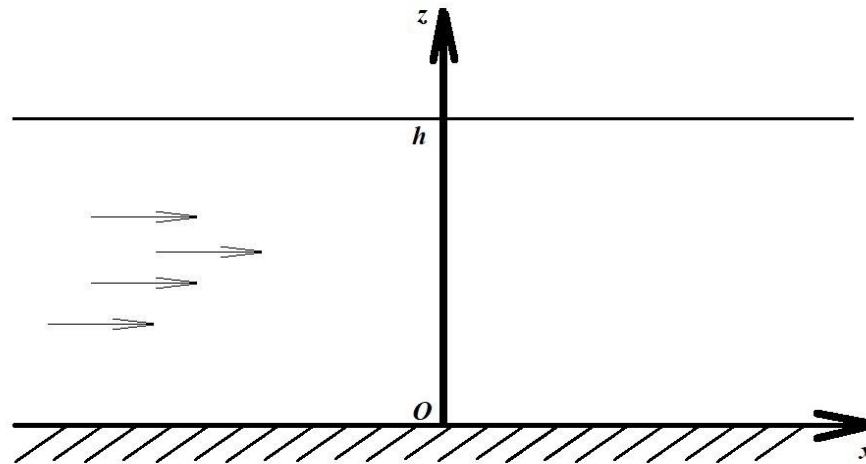


Рис. 1. Геометрия слоя



Полная система уравнений тепловой конвекции, используемая для описания слоистых течений вязкой несжимаемой жидкости, принимает вид:

$$\begin{aligned} V_x \frac{\partial V_x}{\partial x} &= -\frac{\partial P}{\partial x} + \nu \left( \frac{\partial^2 V_x}{\partial x^2} + \frac{\partial^2 V_x}{\partial y^2} + \frac{\partial^2 V_x}{\partial z^2} \right); \\ \frac{\partial P}{\partial y} &= 0; \quad \frac{\partial P}{\partial z} = g\beta T; \\ V_x \frac{\partial T}{\partial x} &= \chi \left( \frac{\partial^2 T}{\partial x^2} + \frac{\partial^2 T}{\partial y^2} + \frac{\partial^2 T}{\partial z^2} \right); \\ \frac{\partial V_x}{\partial x} &= 0. \end{aligned} \tag{1}$$

В системе (1) приняты обозначения:  $V_x(x, y, z), V_x = V_y = 0$  – компоненты вектора скорости;  $P(x, y, z)$  – нормированное на плотность отклонение давления от гидростатического;  $T(x, y, z)$  – отклонение температуры от отсчетного значения  $\nu, \chi$  – кинематическая (молекулярная) вязкость жидкости и ее температуропроводность.

Из системы (1), в частности, следует, что скорость жидкости и давление зависят только от двух координат:  $V_x = V_x(y, z), P = P(x, z)$ .



Рассмотрим течения вязкой несжимаемой жидкости, профиль скорости которых зависит только от одной (поперечной) координаты:

$$V_x = U(z). \quad (2)$$

Подстановка выражения (2) в систему (1) приводит к системе дифференциальных уравнений в частных производных:

$$\begin{aligned} \frac{\partial P}{\partial x} &= \nu \frac{\partial^2 U}{\partial z^2}; & \frac{\partial P}{\partial z} &= g\beta T; \\ U \frac{\partial T}{\partial x} &= \chi \left( \frac{\partial^2 T}{\partial x^2} + \frac{\partial^2 T}{\partial y^2} + \frac{\partial^2 T}{\partial z^2} \right). \end{aligned} \quad (3)$$

Использование семейства решений (2) в силу системы (3) позволяет определить структуру решения для гидродинамических полей температуры  $T$  и давления  $P$ . Несложно убедиться, что поле давления и поле температуры оказываются линейными формами введённых выше координат:

$$T = T_0(z) + T_1(z)x, \quad P = P_0(z) + P_1(z)x. \quad (4)$$

Подставляя соотношения (2), (4) в систему (3), получим систему обыкновенных дифференциальных уравнений относительно переменной  $z$  (дифференцирование по этой переменной обозначено штрихом):

$$T_1'' = 0; P_1' = g\beta T_1; \nu U'' = P_1; \chi T_0'' = UT_1; P_0' = g\beta T_0. \quad (5)$$

Общее решение системы (5) имеет вид:

$$\begin{aligned} T_1 &= C_1 z + C_2; P_1 = \frac{1}{2} g z^2 \beta C_1 + g z \beta C_2 + C_3; \\ U &= \frac{g z^4 \beta C_1}{24 \nu} + \frac{g z^3 \beta C_2}{6 \nu} + \frac{z^2 C_3}{2 \nu} + z C_4 + C_5; \\ T_0 &= \frac{1}{7} g z^7 \beta C_1^2 + g z^6 \beta C_1 C_2 + z^5 \left[ \frac{6}{5} g \beta C_2^2 + \frac{18}{5} C_1 C_3 \right] + 6 z^4 [C_2 C_3 + 2 \nu C_1 C_4] + \\ &+ 24 z^3 \nu (C_2 C_4 + C_1 C_5) + 72 z^2 \nu C_2 C_5 + 144 z \nu \chi C_6 + C_7; \\ P_0 &= \frac{g^2 z^8 \beta^2 C_1^2}{8064 \nu \chi} + \frac{g^2 z^7 \beta^2 C_1 C_2}{1008 \nu \chi} + \frac{g z^6 \beta [g \beta C_2^2 + 3 C_1 C_3]}{720 \nu \chi} + \frac{g z^5 \beta [C_2 C_3 + 2 \nu C_1 C_4]}{120 \nu \chi} + \\ &+ \frac{g z^4 \beta (C_2 C_4 + C_1 C_5)}{24 \chi} + \frac{g z^3 \beta C_2 C_5}{6 \chi} + \frac{1}{2} g z^2 \beta C_6 + g z \beta C_7 + C_8. \end{aligned} \quad (6)$$



Температура на нижней границе  $z = 0$  равна отсчётному нулевому значению. Также на нижней границе задано условие проскальзывания Навье. С учетом структуры выбранного обобщенного класса решений (2), (4) эти условия записываются в следующем виде:

$$T_0|_{z=0} = 0; \quad \alpha \frac{\partial U}{\partial z} \Big|_{z=0} = U(0). \quad (7)$$

Здесь  $\alpha$  – длина проскальзывания.

На верхней (свободной) поверхности  $z = h$  заданы распределения значений полей температуры и давления. Также на верхней границе слоя жидкости задано нулевое касательное напряжение. С учетом структуры класса решений (2), (4) эти условия принимают вид:

$$T_0|_{z=h} = \vartheta; \quad T_1|_{z=h} = A; \quad P_0(h) = S_0; \quad P_1(h) = S_1; \quad \frac{dU}{dz} \Big|_{z=h} = 0. \quad (8)$$

Кроме того, полагаем, что расход жидкости является нулевым:

$$\int_0^h U dz = 0. \quad (9)$$



Решение краевой задачи (6) – (9) имеет вид:

$$T_1 = \frac{10S_1}{gh^2(h+5\alpha)}(h-z)(h+3\alpha) + \frac{A\beta}{4h(h+5\alpha)}(-11h^2 + 5h(3z-8\alpha) + 60z\alpha);$$

$$P_1 = -\frac{S_1}{h^2(h+5\alpha)}(4h^3 + 5hz(z-6\alpha) + 15z^2\alpha + 10h^2(-z+\alpha)) + \\ + \frac{Ag\beta}{8h(h+5\alpha)}(h-z)(h(7h-15z) + 20\alpha(h-3z));$$

$$U = \frac{S_1}{12h^2\nu(h+5\alpha)}(-24h^3z^2 - 5hz^3(z-12\alpha) + 20h^2z^2(z-3\alpha) - 15z^4\alpha + 8h^4(z+\alpha)) + \\ + \frac{Ag\beta}{96h\nu(h+5\alpha)}(42h^3z^2 + 5hz^3(3z-32\alpha) + 60z^4\alpha - 12h^4(z+\alpha) + 4h^2z^2(-11z+30\alpha)) \quad (10)$$

Отличительной особенностью точного решения (10) является учет неоднородности распределения давления на верхней границе рассматриваемого слоя жидкости.

В случае термоизолированных границ (когда продольный градиент температуры  $A = 0$ ) скорость  $U$  описывается выражением:

$$\begin{aligned}
 U &= \frac{S_1}{12h^2\nu(h+5\alpha)} \left( -24h^3z^2 - 5hz^3(z-12\alpha) + 20h^2z^2(z-3\alpha) - 15z^4\alpha + 8h^4(z+\alpha) \right) = \\
 &= \frac{S_1h^5}{12h^2\nu(h+5\alpha)} \left[ \left( -24Z^2 - 5Z^4 + 20Z^3 + 8Z \right) + \frac{\alpha}{h} \left( 60Z^3 - 60Z^2 - 15Z^4 + 8 \right) \right]. \quad (11)
 \end{aligned}$$

Здесь  $Z=z/h \in [0,1]$  – безразмерная поперечная координата.

Анализ поведения многочленов, входящих в выражение (11), позволил утверждать, что при любом значении параметра  $\alpha/h$  скорость  $U$  может иметь одну нулевую точку независимо от значения градиента давления ( $S_1 \neq 0$ ).



## Исследование скорости течения в случае прилипания жидкости и граничного условия для проскальзывания жидкости

Перепишем выражение для скорости (10) для конвективного случая:

$$U = \frac{Ag\beta}{96h\nu(h+5\alpha)} \left\{ k \left( -24Z^2 - 5Z^3 \left( Z - 12\frac{\alpha}{h} \right) + 20Z^2 \left( Z - 3\frac{\alpha}{h} \right) - 15Z^4 \frac{\alpha}{h} + 8 \left( Z + \frac{\alpha}{h} \right) \right) + \right. \\ \left. + \left( 42Z^2 + 5Z^3 \left( 3Z - 32\frac{\alpha}{h} \right) + 60Z^4 \frac{\alpha}{h} - 12 \left( Z + \frac{\alpha}{h} \right) + 4Z^2 \left( -11Z + 30\frac{\alpha}{h} \right) \right) \right\}. \quad (12)$$

Здесь через  $k$  обозначено отношение

$$k = \frac{8S_1}{Ag\beta h},$$

характеризующее вклад пуазейлевского потока по сравнению с термогравитационным в формирование результирующей скорости течения  $U$ .

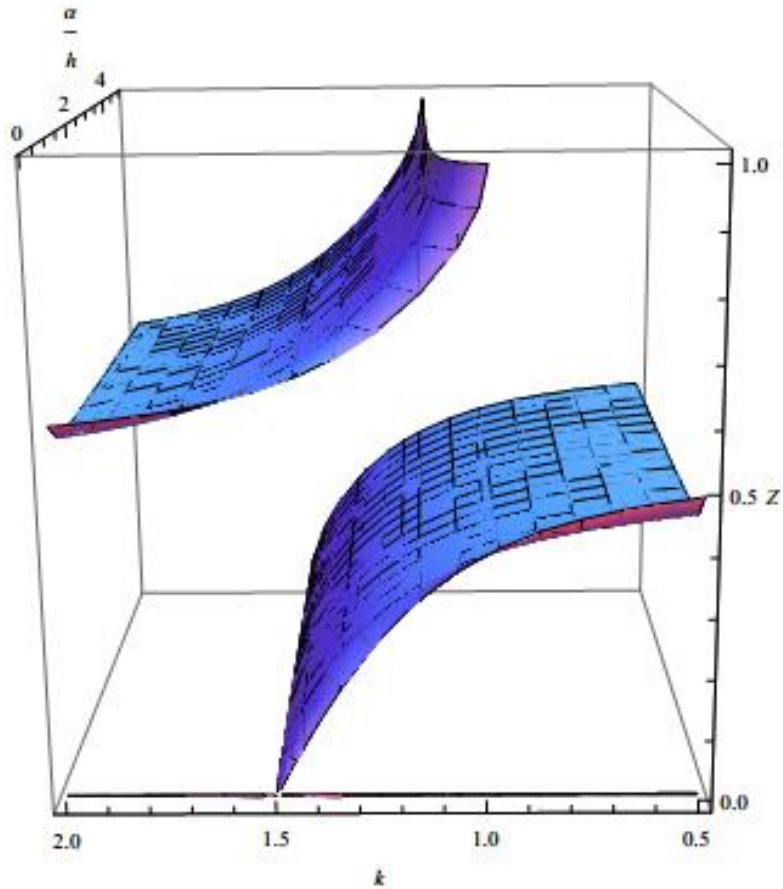


Рис. 2. Множество точек, удовлетворяющих условию  $U = 0$

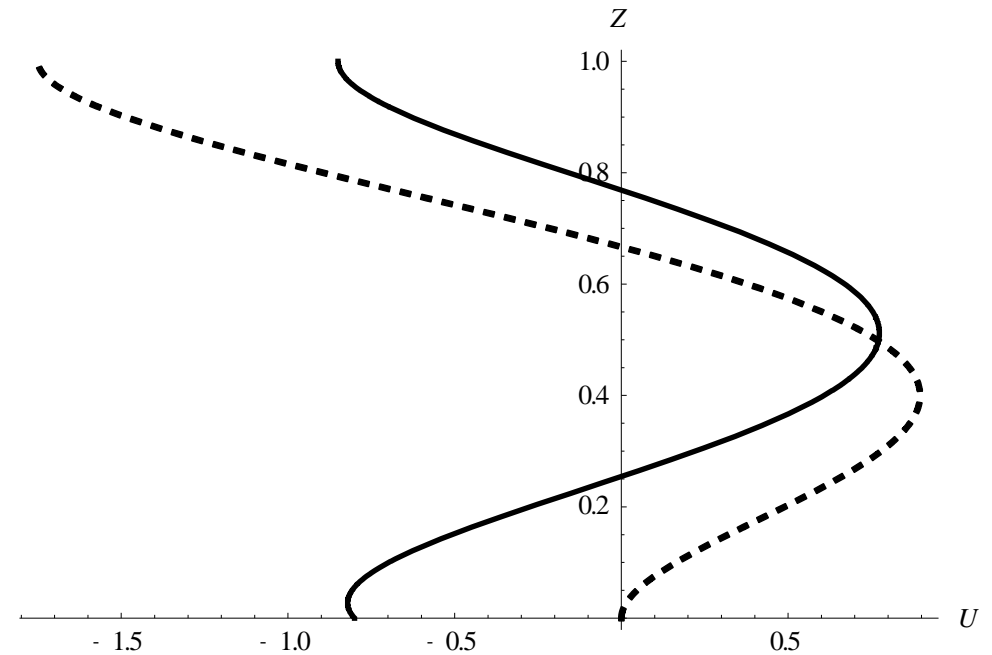


Рис. 3. Профили скорости  $U$  ( $\alpha/h = 0.5$ ) при  $k = 1.7$  (пунктирная линия) и  $k = 1.3$  (сплошная линия)

## Исследование скорости течения в случае идеального скольжения жидкости

Решение краевой задачи (6) – (9) для скорости  $U$  в случае идеального скольжения имеет вид:

$$U = \frac{S_1 h^2}{60\nu} (8 - 60Z^2 + 60Z^3 - 15Z^4) + \frac{Ag\beta h^3}{120\nu} (-3 + 30Z^2 - 40Z^3 + 15Z^4). \quad (12)$$

Если  $S_1 = 0$ , то скорость

$$U = \frac{Ag\beta h^3}{120\nu} (-3 + 30Z^2 - 40Z^3 + 15Z^4)$$

независимо от величины параметра  $A$  обращается в нуль в единственной точке – точке  $Z = 0,4445$  (рис. 4).

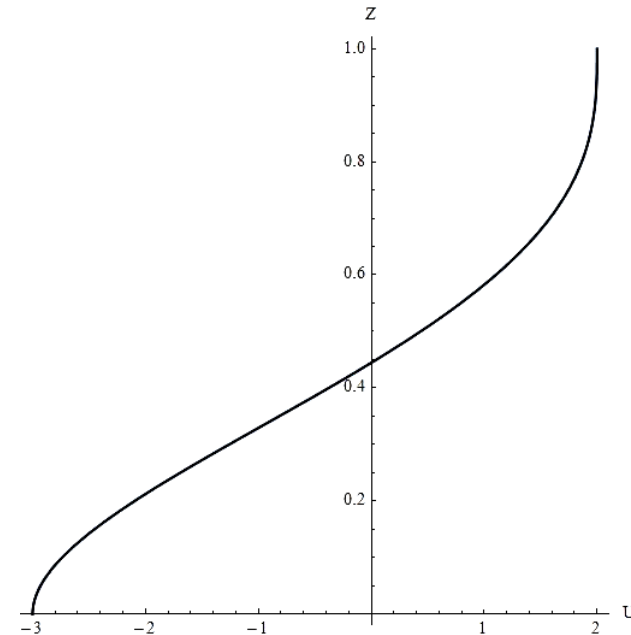


Рис. 4. Профиль скорости  $U$  при  $S_1 = 0$



В общем случае ( $S_1 \neq 0$ ) перепишем точное решение (12) в следующем виде:

$$\begin{aligned} U &= \frac{S_1 h^2}{60\nu} (8 - 60Z^2 + 60Z^3 - 15Z^4) + \frac{Ag\beta h^3}{120\nu} (-3 + 30Z^2 - 40Z^3 + 15Z^4) = \\ &= \frac{S_1 h^2}{60\nu} \left[ 8 - 60Z^2 + 60Z^3 - 15Z^4 + a_s (-3 + 30Z^2 - 40Z^3 + 15Z^4) \right], \end{aligned} \quad (13)$$

где  $a_s = \frac{Ag\beta h}{2S_1}$ .

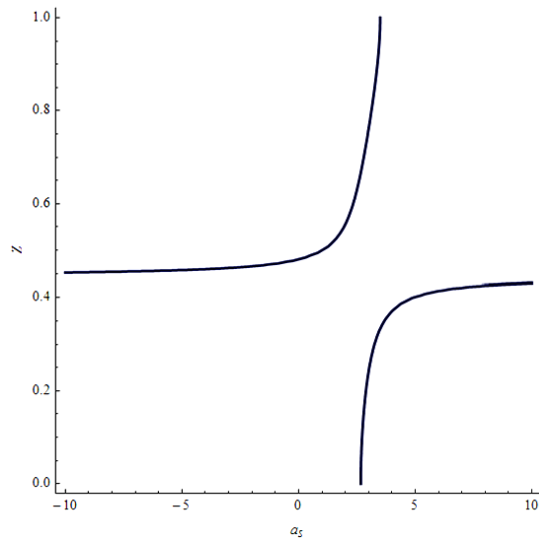


Рис. 5. Геометрическое место точек, удовлетворяющих условию  $U = 0$

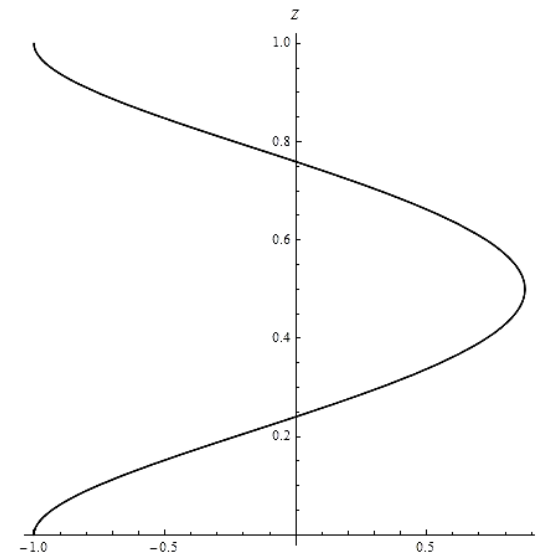


Рис.6. Профиль скорости  $U$  при  $a_s = 3$



**СПАСИБО ЗА ВНИМАНИЕ!**

Н. В. Бурмашева<sup>1</sup>, Е.А. Ларина<sup>2</sup>, Е. Ю. Просвиряков<sup>1</sup>  
nat\_burm@mail.ru, larinakaterina@hotmail.com, evgen\_pros@mail.ru

МЕХАНИКА, РЕСУРС И ДИАГНОСТИКА МАТЕРИАЛОВ И КОНСТРУКЦИЙ

Екатеринбург, 9-13 декабря 2019 года